Figuras fotografías Tesis Doctoral

Carmen Lacasa Díaz

Facultad de Farmacia

Universidad de Navarra (España)

Junio 1986

Figura 5. Aparato de filtración para recuento bacteriano (p. 106)

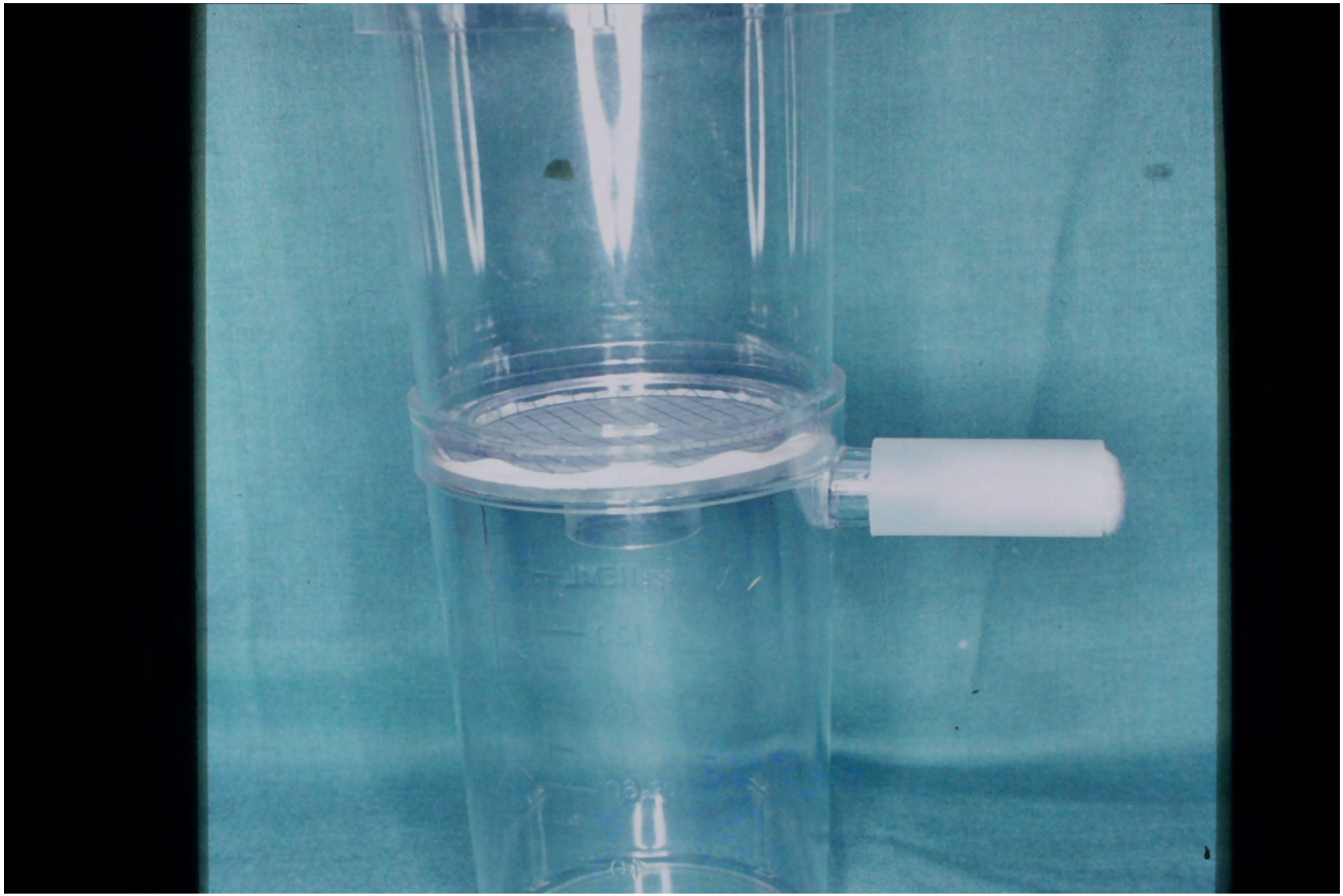


Figura 8. Placa con filtro para recuento bacteriano (p. 134)

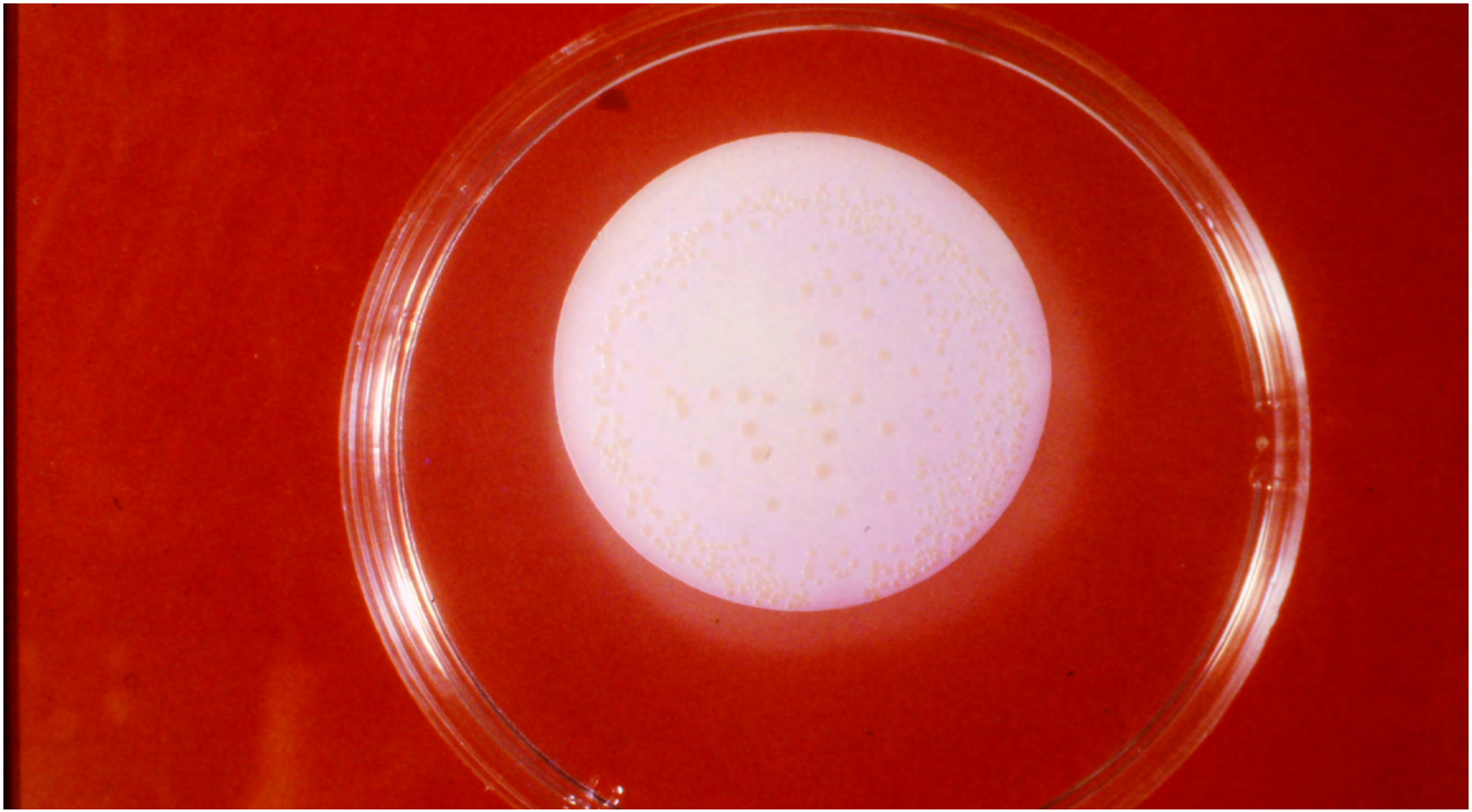


Figura 9. Controles positivo y negativo en LAL “Pyrogent”



Figura 21. Agregación en PRP por ADP 5 µM (p. 177)

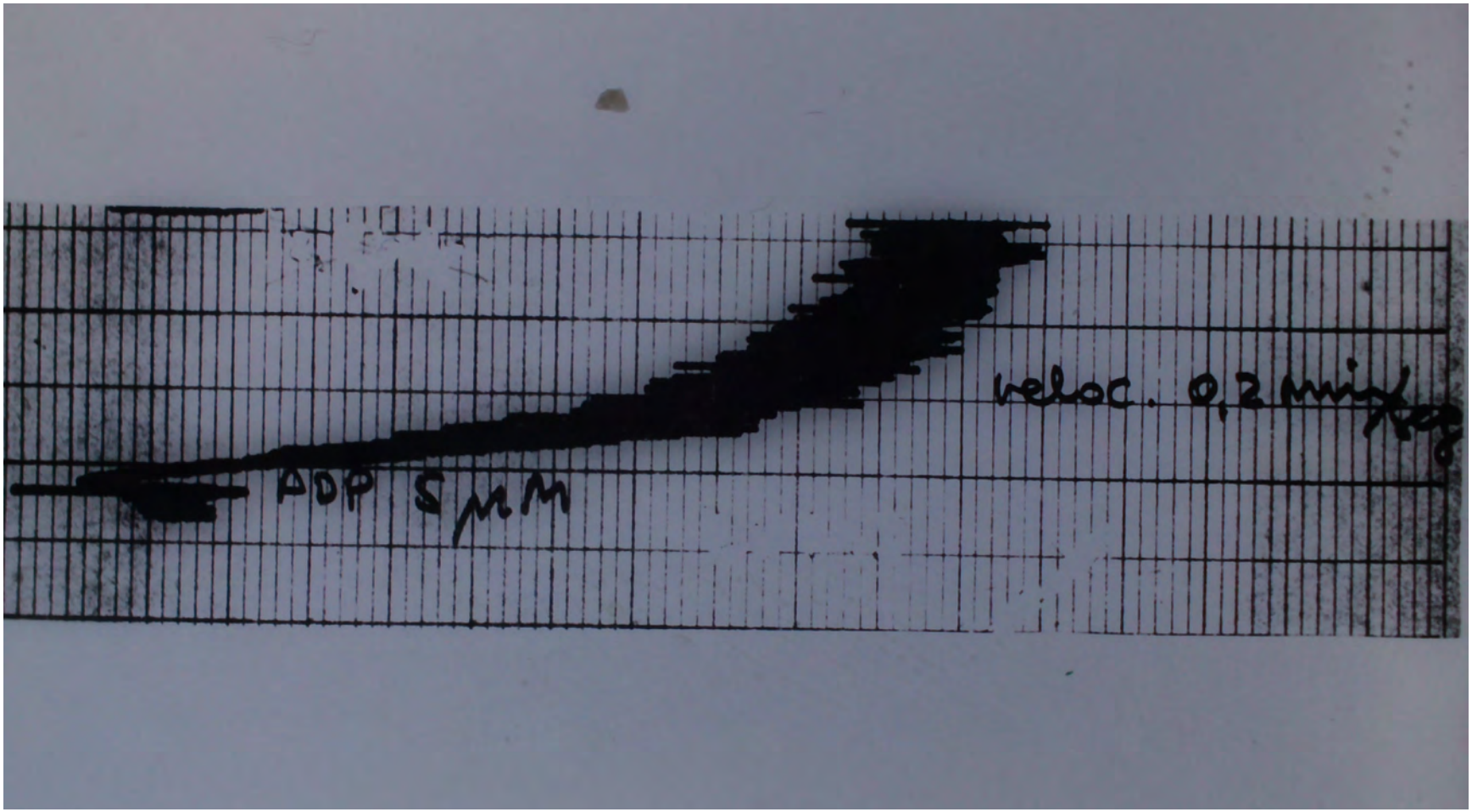


Figura 22. Agregación en PRP. Efecto de 25 µg de endotoxina y ADP 5 µM (p. 178)

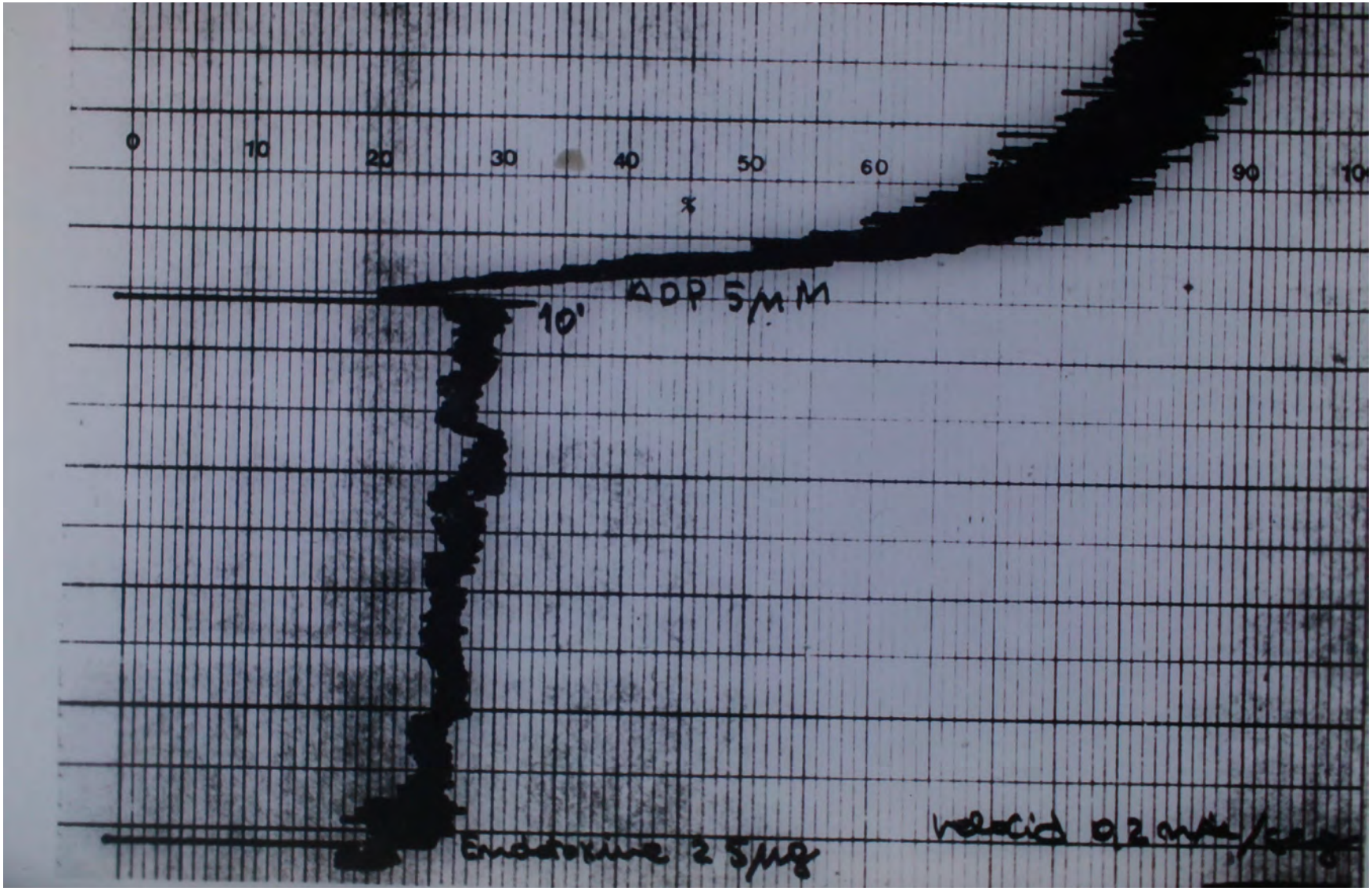


Figura 23. Agregación en sangre total A por ADP 5µM (p.180)

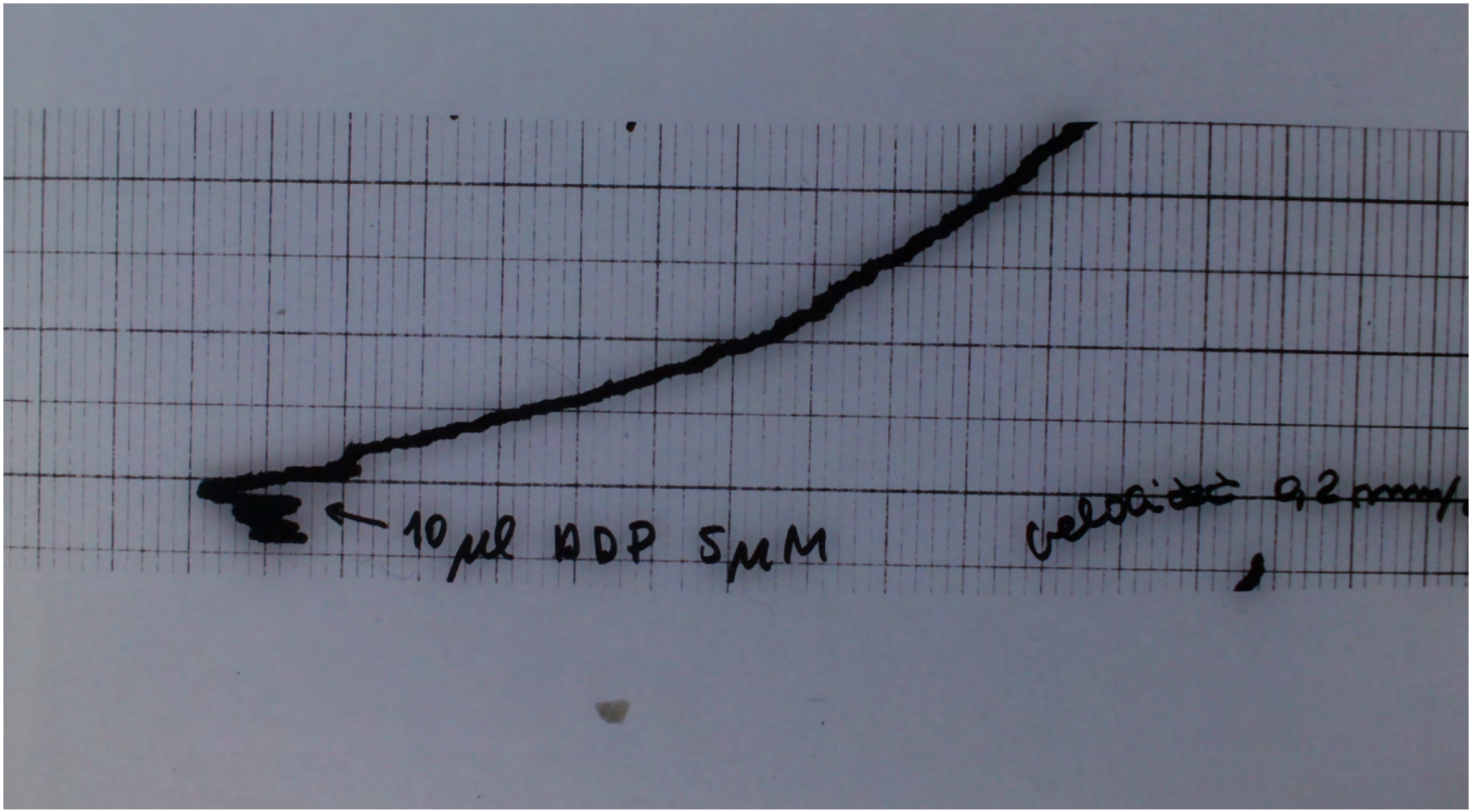


Figura 24. Agregación en sangre total A. Efecto de 2,5 µg de endotoxina y ADP 5 µM (p. 181)

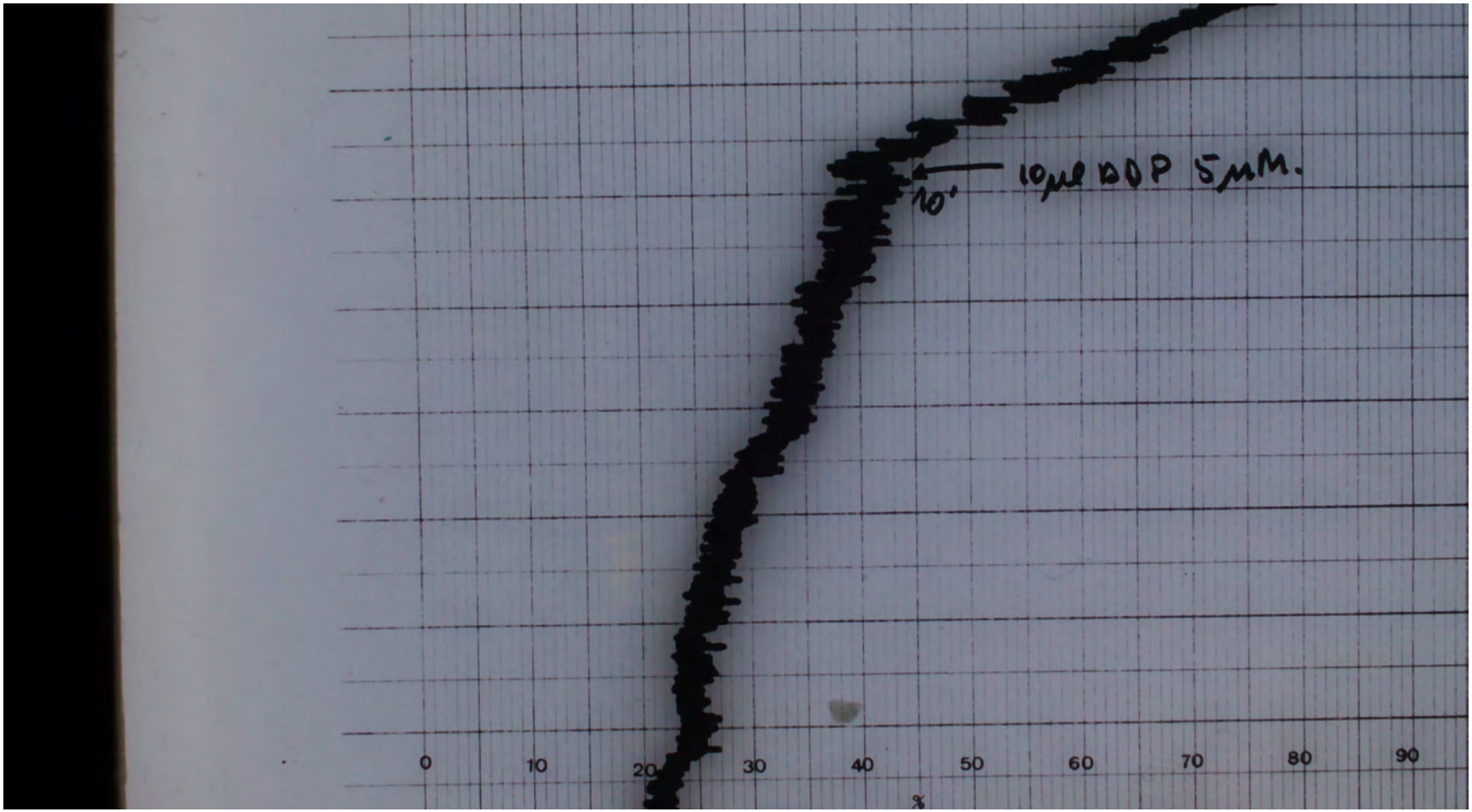


Figura 25. Agregación en sangre total A. Efecto de 2,5 µg de endotoxina y ADP 5µM (p.182)

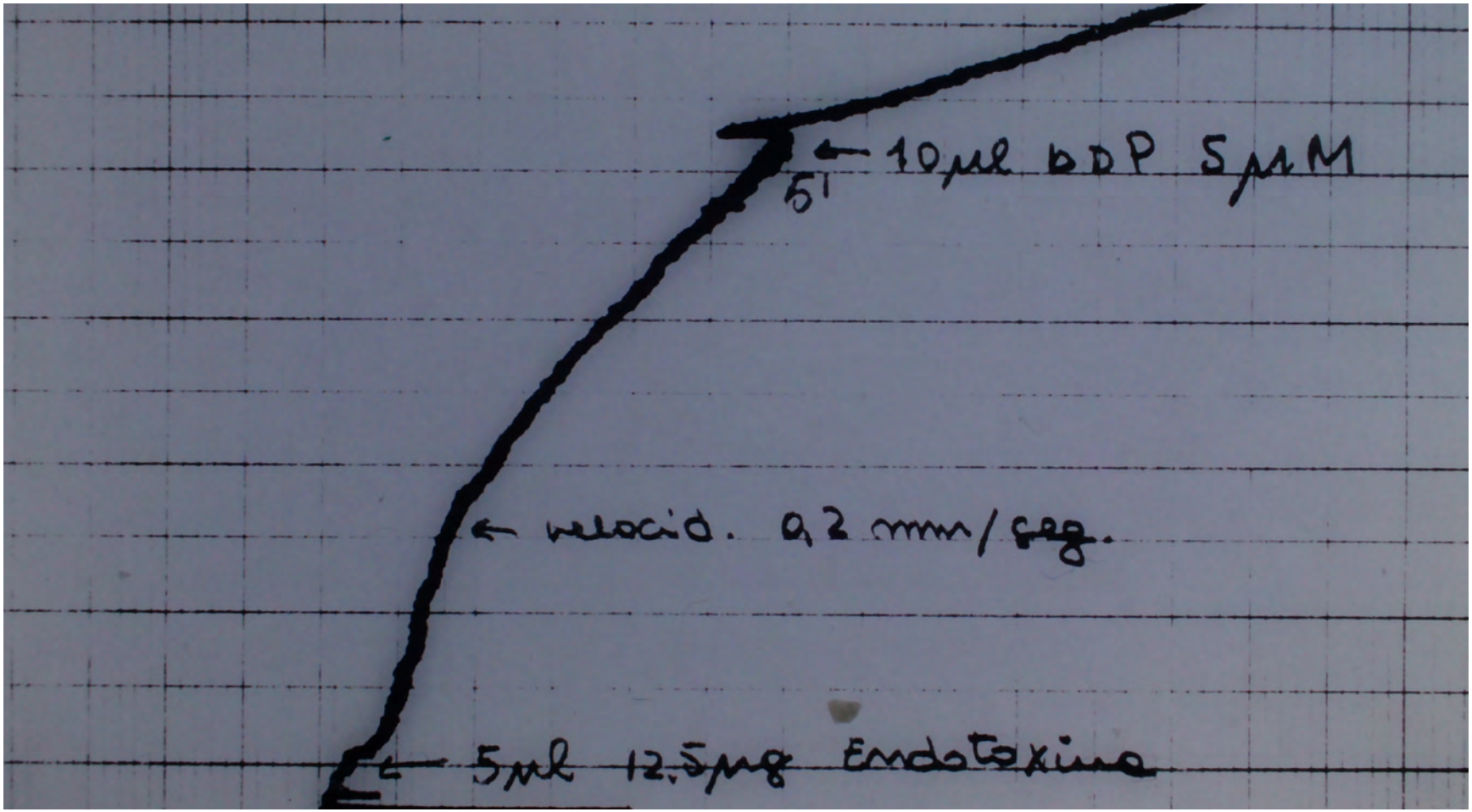


Figura 26. Agregación en sangre total A. Efecto de 25 µg de endotoxina (p.183)

